

ЛИТЕРАТУРА

1. Штейнберг А. С., Улыбин В. Б. ФГВ, 1969, 5, 1, 31.
2. Штейнберг А. С. // Тепломассообмен в процессах горения/Под ред. А. Г. Мержанова.— Черноголовка, 1980.
3. Мержанов А. Г., Дубовицкий Ф. И. Докл. АН СССР, 1959, 129, 1, 153.
4. Франк-Каменецкий Д. А. Диффузия и теплопередача в химической кинетике.— М.: Наука, 1966.
5. Бабенко Ю. И. Тепломассообмен.— Л.: Химия, 1986.

Поступила в редакцию 11/VIII 1987

УДК 541.124 + 536.46

РОЛЬ КАТАЛИЗАТОРОВ ПРИ ОКИСЛЕНИИ УГЛЯ ПЕРХЛОРАТАМИ

А. П. Глазкова
(Москва)

Окисление углерода различными окислителями представляет интерес в первую очередь в силу простоты этой реакции. Можно ожидать, что единственным газообразным промежуточным продуктом в этом случае будет окись углерода. Кроме того, при сжигании угля в промышленных установках весьма актуальна проблема интенсификации процесса, с одной стороны, и уменьшения количества токсичных продуктов неполного окисления, а также окислов азота (образующихся по термической теории [1]) — с другой. Наконец, понимание механизма окисления углерода может пролить свет на механизм химических реакций, протекающих при горении простейших смесевых систем на основе угля тила динаммонов, черного пороха и т. п.

Ранее установлено, что кинетика окисления угля различными окисляющими газами в широком интервале температур имеет много общего [2]. Так, окисление тонких нитей из углерода при температуре $T = 1473 \div 1873$ К протекало сходным образом при использовании в качестве окислителя закиси азота, воды и двуокиси углерода, что дает основания предполагать, что механизм реакций во всех этих случаях был одинаковым. Большинство авторов полагает, что первичным этапом взаимодействия угля с окислителями является образование поверхностных окислов. В [3] показано, что при окислении углерода кислородом возможно протекание двух различных процессов: прямое образование CO_2 при ударе молекул о поверхность углерода и образование поверхностных комплексов с последующим выделением CO и CO_2 . Чистый графит и алмаз окислялись по первому механизму, древесный уголь — по первому и частично второму, а антрацит — по второму. Установлено также, что обработка древесного угля растворами хлоридов железа и магния приводит к замедлению процесса окисления [3, 4]. Ингибитором окисления угля кислородом оказались пары хлорокиси фосфора POCl_3 [5].

Соли щелочных металлов, меди и цинка увеличивали полноту превращения CO в CO_2 ; ряд эффективности солей при $T = 873$ К следующий: $\text{Na}_2\text{CO}_3 > \text{CuCl} > \text{NaCl} > \text{KCl} > \text{ZnCl}_2 > \text{KI}$ [6]. Сильное активирующее влияние углекислого натрия на горение угля установлено также в [7]. Интересно отметить некоторые особенности механизма окисления угля окислами азота. Так, в [8] показано, что реакция $\text{CO} + \text{N}_2\text{O}$ не идет при $T = 673$ К без угля, а в его присутствии CO быстро превращается в CO_2 . Более детальное изучение окисления древесного угля закисью азота показало аналогию в ее поведении сравнительно с CO_2 и H_2O (окислялись тонкие нити из углерода, $T = 1473 \div 1873$ К) [9]. По-видимому, механизм реакции во всех трех случаях одинаков. Однако N_2O реагирует с древесным углем при $T = 673$ К с образованием CO_2 , а CO_2 и H_2O не реагировали с ним при $T < 973$ К. Эти данные свиде-

тельствуют о значительно большей окислительной эффективности окиси азота в этих условиях.

В работе [10] изучено влияние катализаторов и ингибиторов на окисление древесного угля окисью азота при $T = 578 \div 723$ К. Показано, что реакция имеет первый порядок по NO с энергией активации $E = 13,1$ ккал/моль, реакция CO + NO не идет на поверхности, однако добавление меди ее катализирует ($E = 10,1$ ккал/моль), а нитрата свинца — нет. Последний катализировал реакцию $C + 2NO \rightarrow CO_2 + N_2$. Если же уголь обработать нитратом свинца с добавлением диаммонийфосфата, то это ведет не только к прекращению каталитического действия свинца, но и к тому, что при $T = 623$ и 743 К реакция почти полностью ингибируется.

Влияние катализаторов (соли щелочных и некоторых тяжелых металлов) на горение ацетиленовой сажи в окиси азота при атмосферном давлении изучалось в [11]. Об эффективности добавок судили по снижению температуры воспламенения и увеличению выхода CO₂ в продуктах горения; при $T = 573$ К изученные соли располагались в ряд: Na₂SO₄ → динитронафтольсульфонат натрия → Na₂CO₃ → NaCl → KCl → CsCl₂ → CuCO₃ → битартрат калия → K₂CO₃ → RbI → LiCl → SrCl₂ → KBr → K₂SO₄. Битартраты натрия и калия снижали температуру воспламенения с 673 до 373 К, карбонат и динитронафтольсульфонат натрия — до 423 К, а сульфаты, хлориды и бромиды — до 473—523 К. Эффективность добавок зависела от катиона и аниона соли. Большая полнота протекания химических реакций при горении смесей древесного угля с нитратом аммония в присутствии солей щелочных металлов и шестивалентного хрома отмечалась ранее в работе [12].

Чтобы исключить влияние анионов других кислот при определении эффективности катализаторов при окислении угля, в [13—15] изучалось горение стехиометрических смесей угля с нитратами и нитритами щелочных, щелочно-земельных и некоторых тяжелых металлов в широком диапазоне давлений (0,1—100 МПа). В этом случае нитраты и нитриты выполняли одновременно роль катализатора и окислителя. А поскольку брались соли, в которых анионом были NO₃⁻ или NO₂⁻, легко можно было установить каталитическую эффективность катионов этих солей. Показано, что скорости горения смесей с нитратами и нитритами практически совпадают, что обусловлено определяющей стадией при горении (так же, как и при распаде) — разложением нитрита (исходного или образующегося при распаде нитрата). Ряд каталитической эффективности изученных солей металлов оказался следующим: Na > Pb > K > Ba > Al > Ca > Mg, Cu.

Тот факт, что соли щелочных металлов катализировали окисление угля, когда окислителями являлись кислород [7] (при $T \sim 773 \div 1173$ К) и окись азота [11], а также при горении гетерогенных смесей угля с нитратами и нитритами [12—15], свидетельствует об общности механизма окисления угля различными окислителями. Однако в литературе мало данных по окислению угля окислителями хлора. В [16] изучалось горение стехиометрических смесей перхлората аммония с коксом, в [17] — с древесным углем, в [18] — с сажей. В [19] исследовано горение смесей перхлоратов аммония и калия с сажей.

В настоящей работе изучено горение стехиометрических смесей перхлоратов щелочных и щелочно-земельных металлов с древесным углем с целью установления ряда каталитической эффективности металлов, а также для сопоставления окислительной эффективности различных окислителей в процессе горения. Как и ранее, окислитель (перхлорат) выполнял одновременно и роль катализатора (в качестве которого выступает катион соли или продукт ее распада). Для наиболее медленно горящих смесей изучалось влияние катализаторов, которые вводились в состав сверх 100 %. Изучались перхлораты и добавки марки ЧДА и березовый активированный уголь. Все компоненты смесей имели размер частиц менее 100 мкм. Скорость горения определялась по методике, раз-

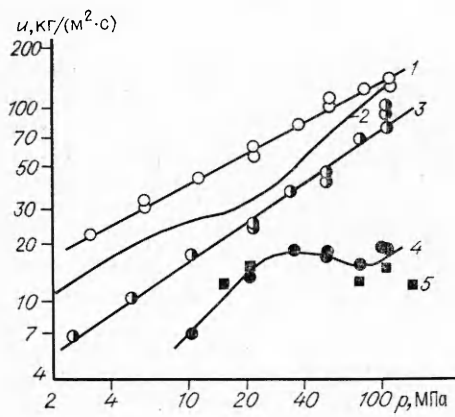


Рис. 1. Зависимость $u(p)$ для смесей перхлоратов натрия (1), калия (2), бария (3), магния (4) (5 — образцы квадратного сечения, $\delta = 1320 \div 1366 \text{ кг/м}^3$).

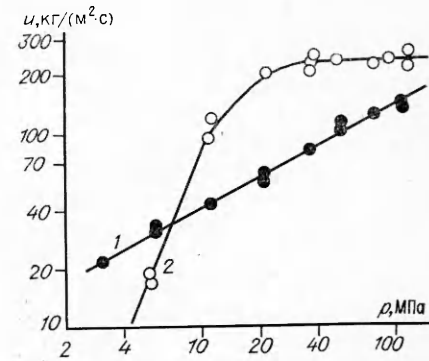


Рис. 2. Влияние плотности на массовую скорость горения перхлората натрия с углем.

$\delta, \text{ кг/м}^3$: 1 — 1180, 2 — 1700 \div 1900.

работанной и описанной в [20], в интервале давлений от нижнего предела до 100 МПа.

На рис. 1 представлена зависимость массовой скорости горения u_m от давления p и для сопоставления — кривая 3 для смеси с перхлоратом калия из [19]. Скорости горения в порядке уменьшения располагались в ряд: $\text{Na} > \text{K} > \text{Ba} > \text{Mg}$. Отметим, что смеси перхлоратов натрия и калия в стеклянных трубках диаметром $d = 0,026 \text{ м}$ устойчиво горели уже при атмосферном давлении с $u_m = 1 \text{ кг}/(\text{м}^2 \cdot \text{s})$, в трубках с $d = 0,017 \text{ м}$ сначала отмечался пульсирующий режим, а затем горение затухало. Состав на основе перхлората бария горел с пульсациями в трубках ($d = 0,025 \text{ м}$) с $u_m = 0,6 \text{ кг}/(\text{м}^2 \cdot \text{s})$.

Изучено влияние плотности δ на массовую скорость горения смесей с перхлоратами магния и натрия. Как видно из рис. 1, 4, 5, величина u не зависит от δ . Согласно [21], это означает, что реакция, определяющая скорость горения, протекает в газовой фазе. Результаты опытов представлены на рис. 2. В интервале $p \leq 7 \text{ МПа}$ прессованные образцы горели с большей скоростью, чем образцы насыпной плотности, т. е. реакция, определяющая скорость горения, протекает в к-фазе. С ростом p картина изменяется. Однако на фотографиях горения в этом случае зафиксированы проскоки горения в глубь образца. Характер кривой $u(p)$ для образцов с малой плотностью также изменяется с давлением — при $p > 30 \text{ МПа}$ кривая выходит на плато.

Для состава перхлората магния с углем, горевшего с наименьшей скоростью, изучено влияние катализаторов: бихромата калия, серы и оксината меди. За критерий эффективности добавок принят коэффициент катализа K , равный отношению скоростей горения катализированной и исходной смесей [22]. Обнаружено, что добавление к смеси катализаторов привело как к росту u , так и к изменению хода кривых $u(p)$ (рис. 3). Эти кривые можно разделить на два характерных участка: до $p \sim 10 \text{ МПа}$ наблюдается более резкий рост скорости горения, чем в интервале $p = 10 \div 100 \text{ МПа}$. Из рис. 3 видно, что в опытах с катализаторами исчезает аномальный участок на кривой $u(p)$.

Количественное влияние катализаторов иллюстрирует рис. 4. Кривые $K(p)$ имеют минимум при $p = 30 \div 40 \text{ МПа}$ и максимум при $p = 80 \text{ МПа}$ (при этом давлении чистая смесь горела с минимальной скоростью). Максимальный рост величины u (в 2 раза) имел место при добавлении оксината меди ($p = 10$ и 80 МПа). Сложный ход кривых $K(p)$ обусловлен аномальным характером зависимости $u(p)$ для исходной смеси.

В таблице представлены расчетные данные для изученных смесей (V_0 — количество выделяющихся при горении газов, Q_v — теплота, T_g —

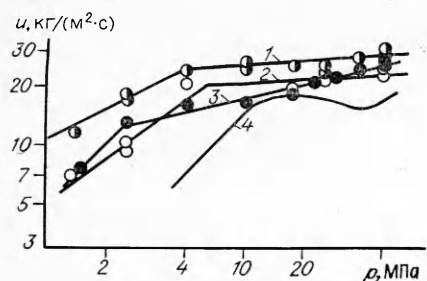


Рис. 3. Влияние катализаторов на зависимость скорости горения перхлората магния с углем от давления.
1 — оксигидрат меди; 2 — бихромат калия; 3 — сера; 4 — смесь без добавок.

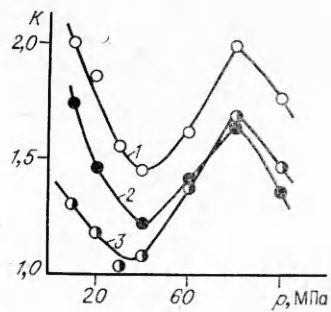


Рис. 4. Зависимость коэффициента катализа для смесей перхлората магния с углем от давления. Обозначения см. рис. 3.

температура горения, B и v — экспериментальные значения характеристик горения в уравнении $u_m = Bp^v$). В таблице приведены значения энергии активации термического разложения перхлоратов, взятые из [23]. Видно, что нет полной корреляции между значениями Q_v , T_g и u . Так, смесь с перхлоратом бария с меньшей T_g горела быстрее, чем смесь с перхлоратом магния, не наблюдается взаимосвязи и между значениями E и u . На основании приведенных в [23] данных можно было ожидать, что с наибольшей скоростью будет гореть состав с перхлоратом магния. Приведенные на рис. 1 результаты показывают, что, напротив, эта смесь горит с наименьшей скоростью.

Согласно [24], для дымных порохов чем больше V_0 , тем больше и v . Из таблицы видно, что в это соотношение не укладываются данные для

Состав смеси, %	V_0 , л/кг	Q_v , кДж/кг	T_g , К	δ , кг/м³	B	v	p , МП	E , ккал/моль
NaClO ₄ — 83,6, уголь — 16,4	0,306	5590	4570	1800—1900 1180	0,374 0,000135 18,68	0,535 2,376 0,0335	3,0—100 4,0—10 20—100	62,6
KClO ₄ — 85,2, уголь — 14,8	0,276	4895	4550	1900—2000	0,140	0,637	1,0—100	70,4
Ba(ClO ₄) ₂ — 87,5, уголь — 12,5	0,233	4136	3750	2100—2300	0,063	0,687	2,5—100	61,6
Mg(ClO ₄) ₂ — 82,3, уголь — 17,7	0,330	6165	4380	1350 1700—1800	0,019 6,741 0,00739	0,823 —0,217 0,781	10—20 30—80 80—100	44,4
Mg(ClO ₄) ₂ + уголь + 5 % S				1700—1800	0,025 0,423	1,0 0,25	2,5—50 50—100	
Mg(ClO ₄) ₂ + уголь + 5 % K ₂ Cr ₂ O ₇				1700—1800	0,052 1,469	0,756 0,065	2,5—10 10—100	
Mg(ClO ₄) ₂ + уголь + 5 % оксигидрата меди				1700—1800	0,242 1,60	0,513 0,079	2,5—10 10—100	

П р и м е ч а н и е. При расчете термохимических характеристик предполагалось, что при горении смесей с углем образуются углекислый газ и соответствующий хлорид металла.

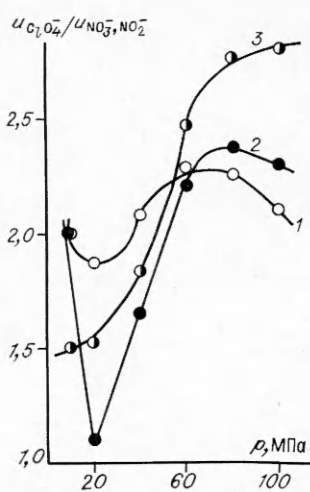


Рис. 5. Зависимость соотношения между скоростями горения perchлоратов, нитратов и нитритов с углем от давления.

1 — соли натрия; 2 — калия; 3 — бария.

составов с perchлоратами калия и бария, для которых значения v больше, чем у смеси с perchлоратом натрия, несмотря на меньшие значения V_0 . Напомним, что для нитратов щелочных металлов с углем эта закономерность выполнялась [13].

На рис. 5 представлены кривые, позволяющие сопоставить окислительную эффективность окислов азота и хлора. По оси ординат отложены отношения скоростей горения стехиометрических смесей perchлоратов к скоростям соответствующих нитратов и нитритов с углем. Во всем изученном диапазоне давлений составы на основе perchлоратов горят значи-

тельно быстрее, чем на основе нитратов и нитритов. Так, смесь perchлората натрия с углем горела быстрее соответствующей смеси с нитратом в 1,9—2,3 раза. Особенно видна большая эффективность ClO_4^- по сравнению с NO_3^- и NO_2^- при сопоставлении скоростей горения угля с perchлоратом и нитратом магния, последняя не горит даже при 100 МПа [13], в то время как состав с perchлоратом магния¹ (см. рис. 1) начинает гореть уже при 10 МПа, а при добавлении катализаторов предельное давление горения снижалось до 2,5 МПа.

В заключение сопоставим имеющиеся данные по влиянию серы на горение угля с нитратом [13] и perchлоратом калия [19]: смесь $\text{KClO}_4 + \text{C} + \text{S}$ горела быстрее аналогичного состава с нитратом калия в 1,4—2 раза при изменении давления от 10 до 100 МПа. Ранее предполагалось, что большая эффективность серы при горении угля с perchлоратом калия по сравнению с аналогичной смесью на основе perchлората аммония [18] могла быть обусловлена образованием соответствующего сульфида, который более эффективен в качестве катализатора. Однако не исключено также образование в качестве активного промежуточного продукта сероуглерода CS_2 , который в промышленности получают прямым взаимодействием древесного угля и паров серы при $T = 1023 \div 1273$ К. Поскольку CS_2 легко взаимодействует с сульфидом с образованием соли тиоугольной кислоты по реакции $\text{CS}_2 + \text{K}_2\text{S} = \text{K}_2\text{CS}_2$, представляется интерес изучить в дальнейшем влияние этих солей на процесс горения вышеуказанных смесей с углем.

И наконец, остановимся на возможном объяснении роли катализаторов при горении древесного угля с perchлоратом магния. Как видно из таблицы, добавление катализаторов приводит к росту коэффициента B в уравнении горения, т. е. к увеличению роли реакций, протекающих в к-фазе, при этом, как правило, снижается значение v , особенно резко выраженное в области повышенных давлений.

Таким образом, замена нитратов и нитритов на perchлораты в стехиометрических смесях с углем приводит к увеличению скорости горения, но не изменяет ряда каталитической эффективности изученных металлов: $\text{Na} > \text{K} > \text{Ba} > \text{Mg}$.

ЛИТЕРАТУРА

1. Зельдович Я. Б., Садовников П. Я., Франк-Каменецкий Д. А. Окисление азота при горении.— М.: Изд-во АН СССР. 1947.
2. Strickland-Constable R. F. J. Chim. Phys., 1950, 47, 322.

¹ Применялся безводный perchлорат магния. В [15] показано, что удаление кристаллизационной воды из нитрата кальция, например, привело к снижению предельного давления, но не изменило ряда каталитической эффективности изученных металлов.

3. Lambert J. D. Trans. Faraday Soc., 1936, **32**, 452.
4. Lambert J. D. Ibid., 1936, **32**, 1584.
5. Arthur J. R. Ibid., 1951, **47**, 164.
6. Arthur J. R., Bowring J. R. J. Chim. Phys., 1950, **47**, 540.
7. Bowring J. R., Crone H. G. Ibid., 1950, **47**, 543.
8. Strickland-Constable R. F. Trans. Faraday Soc., 1938, **34**, 1074.
9. Madley D. G., Strickland-Constable R. F. Ibid., 1953, **49**, 9, 1312.
10. Watts H. Ibid., 1958, **54**, 93.
11. Pascal P., Krieg, Declerck, Perier, François. Mem. Poudres, 1953, **35**, 335.
12. Андреев К. К., Глазкова А. П. Докл. АН СССР, 1952, **86**, 4, 801.
13. Глазкова А. П., Казарова Ю. А., Суслов А. В. Archiwum termodynamiki i spalania, 1978, **9**, 4, 591.
14. Глазкова А. П., Савельев А. В., Казарова Ю. А. Arch. Comb. 1982, **2**, 1, 67.
15. Глазкова А. П., Казарова Ю. А. Хим. физика, 1982, **4**, 553.
16. Глазкова А. П. ФГВ, 1966, **1**, 1, 59.
17. Ромоданова Л. Д., Мальцев В. М., Похил П. Ф. ФГВ, 1971, **7**, 3, 355.
18. Глазкова А. П. Каталит горения взрывчатых веществ.— М.: Наука, 1976.
19. Глазкова А. П., Андреев О. К. // Горение и взрыв.— М.: Наука, 1972.
20. Глазкова А. П., Тереникин И. А. ЖФХ, 1961, **35**, 7, 1622.
21. Андреев К. К. Термическое разложение и горение взрывчатых веществ.— М.: Оборонгиз, 1957.
22. Глазкова А. П., Боболев В. К. Докл. АН СССР, 1971, **197**, 4, 883.
23. Solymosi F., Brauni Gy. Acta chimica Academiae Scientiarum Hungaricae, 1967, **52** (1), 1.
24. Баум Ф. А. Трубочные пороха и дистанционные составы.— М.: Оборонгиз, 1940.

Поступила в редакцию 14/IX 1987

УДК 662.4

ТЕПЛОВОЙ ВЗРЫВ ПРИ ЭКСПОНЕНЦИАЛЬНОМ ИЗМЕНЕНИИ ТЕМПЕРАТУРЫ ОКРУЖАЮЩЕЙ СРЕДЫ

*Е. П. Костогоров, А. Н. Панин, Э. А. Штессель
(Черноголовка)*

Многие технологические процессы в промышленности протекают при температуре окружающей среды, изменяющейся по определенному закону. В связи с этим практическое применение получила теория теплового взрыва в динамических условиях. В [1, 2] рассматривается тепловое самовоспламенение только при линейном нагреве, что сужает рамки использования этой теории для действующих промышленных аппаратов.

В данной работе проведен анализ теплового взрыва для модели бесконечного цилиндра при экспоненциальном изменении температуры на внешней границе.

Рассмотрим задачу о нагреве инертного бесконечного цилиндра радиусом r с коэффициентами теплопроводности λ и температуропроводности a , помещенного в среду с температурой T_c , которая меняется во времени по закону

$$T_c(t) = A(1 - \exp[-kt]) + T_0, \quad (1)$$

где $A = T_{\max} - T_0$; T_{\max} — температура при $t \rightarrow \infty$; k — показатель экспоненты. Теплообмен осуществляется по закону Ньютона — $\lambda \frac{\partial T}{\partial x} = \alpha(T - T_c)$. Решение этой задачи известно и имеет следующий вид [3]:

$$\Theta(\xi, Fo) = 1 - \frac{J_0(\xi \sqrt{Pd}) \exp(-Pd Fo)}{J_0(\sqrt{Pd}) - \frac{\sqrt{Pd}}{Bi} J_1(\sqrt{Pd})} - \sum_{n=1}^{\infty} \frac{2J_0(\mu_n, \xi) C_n \exp(-\mu_n^2 Fo)}{\mu_n J_1(\mu_n) (1 - \mu_n^2/Pd)}, \quad (2)$$

где $C_n = \frac{Bi^2}{\mu_n^2 + Bi^2}$; μ_n — корни уравнения $\frac{J_0(\mu)}{J_1(\mu)} = \frac{\mu}{Bi}$; $\Theta(\xi, Fo) = \frac{T - T_0}{T_{\max} - T_0}$; $\xi = x/r$; $Pd = kr^2/a$, $Fo = at/r^2$, $Bi = ar/\lambda$ — числа Предводителева, Фурье